

فصلنامه تحقیقات جغرافیایی، سال ۲۸، شماره دوم، تابستان ۱۳۹۲، شماره پیاپی ۱۰۹

سعید موحدی، استادیار اقلیم شناسی دانشگاه اصفهان

حسین عساکره، دانشیار اقلیم شناسی دانشگاه زنجان

علی اکبر سیزی پرور، دانشیار دانشگاه بوعلی سینا

سید ابوالفضل مسعودیان، استاد اقلیم شناسی دانشگاه اصفهان

زهرة مریانجی، دانشجوی دکتری اقلیم شناسی دانشگاه اصفهان

S. Movahedi
H. Asakereh
A. Sabziparvar
S.A. Masoodian
Z. Meryanji

E-mail: zohreh_mo6@yahoo.com

شماره مقاله: ۸۹۶ صص: ۳۳-۴۸

پدیرش: ۱۳۹۱/۱۲/۵ وصول: ۱۳۹۱/۴/۱۳

بررسی تغییرات الگوی فصلی بارندگی در استان همدان

چکیده

بارش تغییر پذیرترین پارامتر جوی است که زمان و فصل آن هم دچار تغییر می گردد. شناخت دقیق سازوکار و نحوه تغییرات فصل بارندگی اهمیت بسیار دارد. در این راستا، مطالعه فصل بارندگی در استان همدان که از نظر کشاورزی جایگاه ویژه‌ای در سطح کشور دارد، اجتناب ناپذیر است. این مطالعه سعی در شناخت تغییرات فصل بارندگی در استان همدان را دارد؛ بدین منظور تاریخ وقوع، آغاز و خاتمه بارندگی از داده‌های روزانه بارش در استان همدان استخراج و روند خطی و تغییرات احتمالی آنها، طی دوره سی ساله ۱۳۵۸ تا ۱۳۸۷ تجزیه و تحلیل شد. بدین منظور، مشاهدات به سه دهه مجزا تقسیم و مقایسه شد. نتایج این مطالعه نشان می دهد که در دهه اول دوره بارندگی اوایل پاییز آغاز می شد و در بهار پایان می یافت؛ یعنی دوره بارندگی طولانی بوده است. در دهه دوم فصل بارندگی تغییر خاصی نکرده و فقط در برخی مناطق استان طول دوره بارندگی کوتاه تر و در برخی نواحی بلندتر شده است، اما در دهه سوم دوره بارندگی جابه جایی محسوسی داشته است؛ یعنی آغاز بارندگی از زمستان و خاتمه آن به طرف تابستان بوده است. این بدان معناست که در سال‌های اخیر فصل بارندگی با سرعتی نسبتاً کند به طرف تابستان در حرکت است. تغییرات روند طول دوره بارندگی نیز نشان دهنده روند افزایشی است. به عبارتی، در دوره مورد مطالعه فصل بارندگی طولانی تر شده است. به منظور طبقه بندی تغییرات فصل بارندگی بر روی داده‌های میان‌بایی شده و بر اساس "متوسط فاصله اقلیدسی" و به روش ادغام "وارد" تحلیل خوشه ای انجام شد. بر این اساس، استان همدان از نظر تغییرات فصل بارندگی به سه منطقه طبقه بندی گردید. منطقه ۱ با بیشترین وسعت، کوتاه شدن فصل بارندگی را نشان می دهد، منطقه ۲ جابه جایی آغاز فصل بارندگی به طرف زمستان را نشان می دهد و در منطقه ۳ فصل بارندگی تغییر محسوسی نداشته است.

واژه‌های کلیدی: فصل بارندگی، روند، آغاز بارندگی، خاتمه بارندگی، تحلیل خوشه ای.

مقدمه

به دنبال گرم شدن اقلیم زمین الگوی گردش عمومی هوا و به تبع آن الگوی زمانی- مکانی بارندگی تغییر کرده است. تغییر اقلیم یکی از معضلات کنونی جامعه بشری است و تهدید و بلای سیاره زمین به شمار می آید. افزایش دمای کره زمین سبب تغییرات ژرف و وسیع در اقلیم‌های زمین گردیده و باعث بروز تغییراتی در زمان و مکان بارش می شود که خسارت بسیاری را خصوصاً در دهه اخیر وارد کرده است. امروزه اکثر طرح‌های زیست- محیطی سعی بر شناخت تغییرات اقلیمی و کاهش تأثیرات آن دارند. به علت اهمیت تاثیر تغییرات بر شرایط محیطی و اقتصادی- اجتماعی و همچنین، نقش آن در بر نامه ریزی خرد و کلان، تغییرات رفتار بارندگی جهان در زمان طولانی، به ویژه در سال‌های اخیر مورد توجه بوده است. از جنبه‌های شایان توجه تغییر اقلیم، جابه جایی و تغییر فصول بارندگی است. بارش به دلیل اهمیت زیادی که در بین عناصر اقلیمی دارد، همواره مورد توجه محققان و پژوهشگران بوده و تحقیقات گسترده ای در سطح جهان و در ایران بر روی این عنصر اقلیمی انجام شده است، اما به نظر می‌رسد که مطالعات بر روی فصل بارندگی و تغییرات آن محدود تر بوده است. در زیر به چند نمونه مطالعاتی که بر روی ویژگی‌های بارش و فصل بارندگی در جهان و ایران انجام شده، اشاره می شود: بلو^۱ (۱۹۹۶، ۱۶۱) با استفاده از داده‌های بارندگی و تبخیر- تعرق پتانسیل (PE) در طی یک دوره ۳۵ ساله (۱۹۹۳-۱۹۵۹) به بررسی و تعیین ویژگی‌های شروع و خاتمه بارندگی در نیجریه، با استفاده از اطلاعات چهار ایستگاه منتخب پرداخت. دومروس^۲ و همکاران (۱۹۹۸، ۱۵۱) به روش تحلیل مؤلفه‌های اصلی و خوشه ای بر روی بارش ماهانه ایران، سه مؤلفه اصلی و پنج رژیم بارش را شناسایی کردند و با توجه به رژیم بارش ایران و با استفاده از داده‌های بارش در ۷۰ ایستگاه نقشه‌های همپاران را تحلیل کردند. بوفنی^۳ و همکاران (۱۹۹۹، ۳۳) بارش ایتالیا را تجزیه و تحلیل کردند. آنها داده‌های بارش ۳۲ ایستگاه پراکنده در سرتاسر ایتالیا را که به دو دسته همگن اقلیمی تقسیم شده بودند، جمع آوری کردند تا بارش فصلی و سالانه ایتالیا را برای یک دوره ۱۶۴ ساله بررسی کنند. انکازویچ^۴ و همکاران (۱۹۹۹، ۲۴۱) بر اساس تحلیلی آماری، میانگین ماهانه و حداکثر روزانه بارش شهر بلگراد را بررسی نمودند و نشان دادند که در تمام ماه‌های سال، به استثنای ماه‌های می، ژوئیه و ژوئن فراوانی ماکزیمم بارش روزانه بر روی بازه ۱۰ تا ۲۰ میلیمتر بیشتر است. استافورد^۵ و همکاران (۲۰۰۰، ۳۳) روند ۵۰ ساله دما و بارش آلاسکا را به دست آوردند. و نشان دادند که بارش تابستانه در بسیاری از ایستگاه‌ها افزایش یافته است. راموس^۶ (۲۰۰۱، ۱۶۳) الگوهای توزیع بارندگی و تغییرات آن را در مناطق مدیترانه‌ای تحلیل کرد و به این نتیجه رسید که در طول دوره، سال‌های خیلی خشک و خشک گزارش نشده است و اکثر سال‌ها به عنوان سال‌های خشک نرمال یا مرطوب نرمال طبقه بندی گردیده است. رودریگو^۷ (۲۰۰۲، ۱۹۳) بارش و تغییر پذیری آن را به صورت موردی، در سان فرناندو بررسی کرد. وی بارش‌های فصلی ثبت شده در سان فرناندو در طی دوره ۲۰۰۰-۱۸۲۱ را مورد استفاده کرد و درصدهای دوره بازگشت ده، بیست و پنج، هفتاد و پنچ و نود را برای دوره زمانی ۱۹۹۰-۱۹۶۱ به دست آورد، تا فصول خشک و مرطوب را تعیین کند.

- Bello
- Domroes
- Buffoni
- Unkasevic
- Stafford
- Romos
- Rodrigo

توموزیو^۸ و همکاران (۲۰۰۲، ۲۲۱) به بررسی نوسان‌های بارش زمستانه ۴۰ ایستگاه باران سنجی در ایتالیا پرداختند. آنها دریافتند که تقریباً بارش تمام ایستگاه‌های مورد مطالعه، یک روند کاهشی قابل توجه در فصل زمستان را نشان می‌دهد. تاراونه و کادی اغلو^۹ (۲۰۰۳، ۱۲۳) فصل بارش را در کشور اردن مطالعه کرده‌اند. آنها از روش‌های تحلیل همساز استفاده کرده و دریافتند که ۹۰ درصد تغییرات در هارمونیک اول و دوم آشکار می‌گردد. دومونکس^{۱۰} (۲۰۰۳، ۲۵۵) به بررسی روند بارش در هلند پرداخت. وی سری‌های زمانی بارش ماهانه را از ایستگاه‌هانگرای در طی سال‌های ۱۹۹۸-۱۹۰۱ تجزیه و تحلیل کرد تا تغییرات بلند مدت در ویژگی‌های بارش قرن بیستم را آشکار کند. او در این مطالعه توجهی ویژه به تغییرات در دهه‌های اخیر و ارتباط آنها با تغییرات اقلیمی بزرگ مقیاس در اروپا و اقیانوس اطلس کرده است. بودری^{۱۱} و همکاران (۲۰۰۵، ۱۵۱) روند تغییرات بارش در چک اسلواکی را در طی دوره ۱۹۹۴ تا ۲۰۰۱ مطالعه و بررسی کردند. آنها تغییرپذیری بارش را با روش تفاوت مطلق در بین دو دوره زمانی مجزای نزدیک به هم تعیین کردند. نتایج اشاره بر افزایش کلی تغییرپذیری بارش در تمام مقیاس‌های مورد بررسی داشت. توسیک^{۱۲} و همکاران (۲۰۰۵، ۶۷) به بررسی سری‌های زمانی بارش بلگراد پرداختند و نشان داده شد که بارش ناحیه بلگراد در زمستان تحت تاثیر نوسان اطلس شمالی و در بهار تحت تاثیر نوسان اطلس جنوبی قرار دارد. کیان و لین^{۱۳} (۲۰۰۵، ۲۰۷) روند منطقه‌ای شاخص‌های بارندگی، در چین را تجزیه و تحلیل کردند. آنها یک روند کاهشی در بارش سالانه از بخش جنوبی شمال شرق چین تا میانه پایینی دره رودخانه زرد و دره رودخانه یانگ تز مشاهده کردند. لیوآدا^{۱۴} و همکاران (۲۰۰۶، ۱۵۵) ویژگی بارندگی ۲۴ ساعته یونان را به روش‌های تحلیل همساز مطالعه کردند. آنها دریافتند که بیشترین درصد تغییرات برای بارندگی به وسیله اولین همساز توضیح داده می‌شود. اودکنل^{۱۵} (۲۰۰۶، ۲۰۱) به تعیین شروع و خاتمه فصل بارش در نیجریه با تاکید بر مقدار و تعداد روزهای بارانی، پرداخت و دریافت که تعداد روزهای بارانی، تاریخ‌های واقع بینانه تری برای شروع و خاتمه بارندگی، نسبت به روش مقدار بارندگی، به دست می‌دهد. کاراجیانیدیس^{۱۶} و همکاران (۲۰۰۸، ۱۹۳) بعضی از ویژگی‌های بارش کشورهای اروپایی را تجزیه و تحلیل کرده، با استفاده از تحلیل هارمونیک نشان دادند که مجموع اولین و دومین هارمونیک، رژیم بارش میانگین سالانه را توصیف می‌کنند. آشابوکو^{۱۷} و همکاران (۲۰۰۸، ۹۸) به مطالعه تغییرات رژیم بارش در روسیه پرداختند. نتایج نشان داد افزایش قابل توجهی در شدت بارش زمستانه در ناحیه جلگه‌ای دیده می‌شود. علیجانی (۱۳۷۶، ۱۳۸) بر اساس عناصر عمده بارندگی، از قبیل: بارندگی سالانه، تمرکز فصلی و حداکثر ۲۴ ساعته سالانه، بارندگی کل کشور را به شش ناحیه تقسیم کرده است. مسعودیان (۱۳۸۴، ۲۱) با استفاده از روش تحلیل خوشه‌ای پایگانی، ایران را به سه رژیم اصلی بارش (زمستانی، زمستانی-بهاری و پاییزی) و چندین رژیم فرعی تقسیم نمود. عسگری و رحیم زاده (۱۳۸۵، ۶۷) تغییرات ویژگی بارندگی ۳۴ ایستگاه همدید

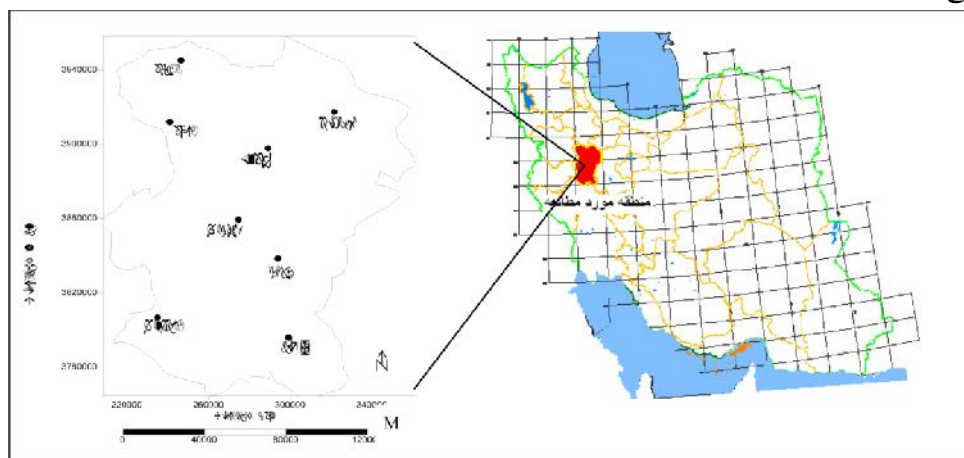
- Tomozeiu
- Tarawneh and Kadoglu
- Domonkos
- Bodri
- Tosic
- Qian and Lin
- Livada
- Odekunle
- Karagiannidis
- Ashaboko

کشور را مطالعه و بررسی قرار کردند. آنها با استفاده از آزمون پارامتریک t استیودنت و آزمون‌های ناپارامتریک من-کندال و اسپیرمن به تحلیل کمی روند پرداختند. ناظم السادات (۱۳۸۵، ۷۳) داده‌های بارندگی ۱۹ ایستگاه سینوپتیک نواحی جنوب غرب کشور و نیز داده‌های سطح آب خلیج فارس را برای دوره‌های ۱۹۹۳-۱۹۵۹ مطالعه کرد. محمدی و جاوری (۱۳۸۵، ۸۷) برای بررسی تغییرات زمانی بارش ایران از مدل‌های تغییرات تصادفی استفاده و ذکر کردند که با توجه به سنجش و پیش‌بینی‌های مدل‌ها، بارش‌های فصلی تمام ایستگاه‌ها دارای تغییرات تصادفی بوده است. مسعودیان (۱۳۸۶، ۷۹) با استفاده از داده‌های بارش ۳۳۳ ایستگاه با استفاده از روش تحلیل خوشه‌ای ایران را از نظر مقدار و زمان دریافت بارش به هشت ناحیه تقسیم بندی نمود. میر موسوی (۱۳۸۷، ۸۷) نوسان‌های دما و بارش سالانه را در منطقه شمال غرب ایران بررسی کرد و نشان داد که روند بارندگی سالانه در ایستگاه‌های تبریز، اردبیل، ارومیه و خوی معنادار بوده و در همه آنها روند نزولی مشاهده شد. بسیاری دیگر از محققان کارهایی از این قبیل انجام دادند که به دلیل رعایت ایجاز از ذکر آنها پرهیز می‌شود. در تحقیق حاضر سعی می‌شود تغییرات و مشخصه‌های فصل بارندگی استان همدان در یک دوره سی ساله بررسی، مقایسه و طبقه بندی گردد.

داده‌ها و روش‌ها

الف- منطقه و داده‌های مورد مطالعه

استان همدان، یکی از نواحی کوهستانی در غرب کشور است که در حد فاصل عرض جغرافیایی $33^{\circ}33'$ تا $35^{\circ}38'$ شمالی و $47^{\circ}45'$ تا $49^{\circ}36'$ طول شرقی از نصف‌النهار گرینویچ قرار گرفته، مساحت آن در حدود $19545/82$ کیلومتر مربع است (شکل ۱).



شکل ۱: موقعیت منطقه مورد مطالعه

در این مطالعه از آمار بارندگی روزانه هشت ایستگاه مختلف هواشناسی استان همدان (همدان، نوره، درگزین، فیروزان، کیتو، اکنلو، گنبد و ملایر) که دارای دوره مشترک آماری ۳۰ ساله (۱۳۵۸ الی ۱۳۸۷) بودند، استفاده گردید. در جدول (۱) مشخصات ایستگاه‌های مذکور آورده و در (شکل ۱) نیز موقعیت آنها نشان داده شده است.

جدول ۱: مشخصات ایستگاه‌های هواشناسی منطقه مورد مطالعه

| نام | نوع | ارتفاع (متر) | طول جغرافیایی | عرض جغرافیایی |
|---------|-------------|--------------|---------------|---------------|
| نوژه | سینوپتیک | ۱۶۷۹ | ۴۸°۶۸' | ۳۵°۲۰' |
| همدان | سینوپتیک | ۱۷۴۹ | ۴۸°۵۳' | ۳۴°۵۸' |
| ملایر | سینوپتیک | ۱۷۲۵ | ۴۸°۸۲' | ۳۴°۳۰' |
| درگزین | اقلیم‌شناسی | ۱۸۷۰ | ۴۸°۰۴' | ۳۵°۲۱' |
| فیروزان | باران سنجی | ۱۵۰۰ | ۴۸°۱۲' | ۳۴°۳۷' |
| کتیو | باران سنجی | ۲۱۰۰ | ۴۸°۱۵' | ۳۵°۳۲' |
| اکتلو | باران سنجی | ۱۷۳۰ | ۴۸°۲۰' | ۳۵°۶۲' |
| گنبد | باران سنجی | ۱۹۸۵ | ۴۸°۷۵' | ۳۴°۶۸' |

ب- روش

به منظور آشکارسازی تغییرات فصل بارندگی در منطقه مورد مطالعه، از داده‌های بارندگی روزانه ایستگاه‌های مورد نظر طی دوره سی ساله ۱۳۵۸ الی ۱۳۸۷ استفاده گردید. بدین منظور، ابتدا داده‌های اولیه و خام که به صورت روزانه ثبت شده‌اند، استخراج شد و بر اساس تقویم زراعی تاریخ آغاز و خاتمه بارندگی و همچنین، طول دوره بارندگی برای هر سال به دست آمد. سپس به منظور بررسی و مقایسه تغییرات و مشخصه‌های فصل بارندگی این دوره به صورت سه دهه و یک دوره سی ساله تقسیم و تجزیه و تحلیل شد. در این راستا مراحل ذیل انجام گردید:

۱- **بررسی صحت داده‌ها و کنترل کیفیت آنها:** قبل از انجام هر گونه محاسبه، به منظور بررسی صحت و همگنی داده‌ها آزمون همگنی یا ران تست انجام گردید.

۲- **بررسی شاخص‌های آماری:** پس از صحت‌سنجی داده‌ها، برخی شاخص‌های اولیه، نظیر: میانگین پیراسته (میانگین مشاهدات بین چارک اول و سوم) واریانس و انحراف معیار بررسی شدند.

۳- **بررسی شاخص‌های ثانویه:** به منظور تحلیل دقیق‌تر، مؤلفه‌هایی، از قبیل روند و تغییرپذیری آن از داده‌ها استخراج گردید. مقدار روند از روش‌های متعددی به دست می‌آید (مشکانی، ۱۳۶۴: ۲۰۰). در این مطالعه میزان روند از طریق تابع رگرسیون خطی (با فرض خطی بودن روند) و روش حداقل مربعات به دست آمد که در سطح اطمینان مورد نظر معنادار و در حد این تحقیق جوابگو بوده است.

۴- **میانبایی داده‌ها:** به منظور شناسایی تغییرات فصل بارندگی در همدان ابتدا داده‌های ایستگاه‌های مورد مطالعه جمع‌آوری و سپس به روش کریجینگ میانبایی شد. این روش از این مزیت برخوردار است که شناسایی مرز میان نواحی را دقیق‌تر می‌کند (مسعودیان، ۱۳۸۶: ۸۳). شایان ذکر است نقشه‌ها بر اساس سیستم تصویر مختصات جهانی (UTM)^{۱۸} ترسیم شده‌اند.

۵- طبقه بندی خوشه‌ای: به منظور دستیابی به شباهت مکانی استان از نظر مقادیر روند و تغییرات آن یک گروه بندی بر اساس "متوسط فاصله اقلیدسی" و به روش ادغام "وارد"^{۱۹} انجام شد. به این دلیل که بررسی و آزمون این روش نسبت به روش‌های گوناگون با واقعیت‌های ظاهری منطقه و دقت در انتخاب آن با حداقل طول در فواصل بین خوشه‌ها صورت پذیرفته است. از مزایای ضریب متوسط فاصله اقلیدسی آن است که اگر ماتریس داده‌ها دارای مقادیر از دست رفته ای باشند، باز هم می‌توان از آن استفاده نمود و همچنین، روش دسته بندی حداقل واریانس وارد در عمل کاربرد بیشتری نسبت به سایر روش‌ها دارد. (فرشاد فر، ۱۳۸۰: ۵۶۳). به نظر گونگ و ریچمان^{۲۰} (۱۹۹۵: ۵۸) از بین روش‌های مختلف طبقاتی روش ادغام بر حسب متوسط گروه و روش دسته بندی حداقل واریانس وارد بیشتر از بقیه روش‌ها مورد توجه و استفاده اقلیم شناسان قرار گرفته است. در روش وارد هر فرد یا عضوی در گروهی جای می‌گیرد که مجموع انحرافات درون گروهی به حداقل رسیده باشد. در نتیجه، افرادی که در یک خوشه جای می‌گیرند، از نظر مکانی بر روی نقشه در همسایگی یکدیگر واقع شده و پیوستگی جغرافیایی مناطق حفظ می‌شود (مسعودیان، ۱۳۸۴: ۷۰).

ضریب فاصله اقلیدسی از رابطه (۱) به دست می‌آید (گونگ و ریچمان، ۱۹۹۵: ۶۰):

رابطه (۱):

$$e_{jk} = \sqrt{\sum_{i=1}^n (x_{ij} - x_{ik})^2}$$

یعنی برای محاسبه e_{jk} دو فرد j و k ، از داده‌های ستون‌های k و j ماتریس اصلی داده‌های استاندارد شده استفاده می‌شود و صفت به صفت تفاوت مقادیر آنها به دست می‌آید، سپس مجموع مجذور مربع تفاوت‌ها محاسبه می‌گردد.

در روش وارد برای ادغام افراد از مجموع مربعات اشتباه استفاده و در هر دسته مجموع مربعات اشتباه یک جفت دسته یا گروه ممکن تعیین می‌شود. افرادی که در یک جفت از دسته‌ها دارای حداقل مجموع مربعات اشتباه باشند، در یک دسته قرار می‌گیرند. با استفاده از روش وارد مجموع مربعات اشتباه از رابطه (۲) به دست می‌آید.

رابطه (۲)

$$E.S.S = \sum_{j=1}^k \left[\sum_{i=1}^{n_j} X_{ij}^2 - \frac{1}{n_j} \left[\sum_{i=1}^{n_j} X_{ij} \right]^2 \right]$$

در این رابطه X_{ij} امتیاز فرد i در دسته j زبده و تعداد کل دسته‌ها در هر مرحله n_j تعداد افراد در هر دسته است. این مجموع مربعات اشتباه را نمایه مجموع مربعات یا واریانس نیز می‌گویند (فرشاد فر، ۱۳۸۰: ۵۶۴).

در این تحقیق به منظور تحلیل خوشه‌ای از داده‌های میان‌بومی شده متغیرهای نظیر روند در تاریخ وقوع آغاز بارندگی، روند تاریخ وقوع خاتمه بارندگی، روند در طول دوره بارندگی در سه دهه و دوره ۳۰ ساله، طول دوره بارندگی و تاریخ شروع و خاتمه بارندگی و نمره استاندارد متغیرها استفاده گردیده است.

۶- پهنه بندی تغییر دوره بارندگی: به منظور پهنه بندی تغییر دوره بارندگی، ابتدا با توجه به داده‌های میان‌بومی

شده (پیکسل‌ها) در محدوده مورد مطالعه و دوره آماری مورد نظر و تعداد خوشه‌ها برای هر یک از خوشه‌ها به ترتیب

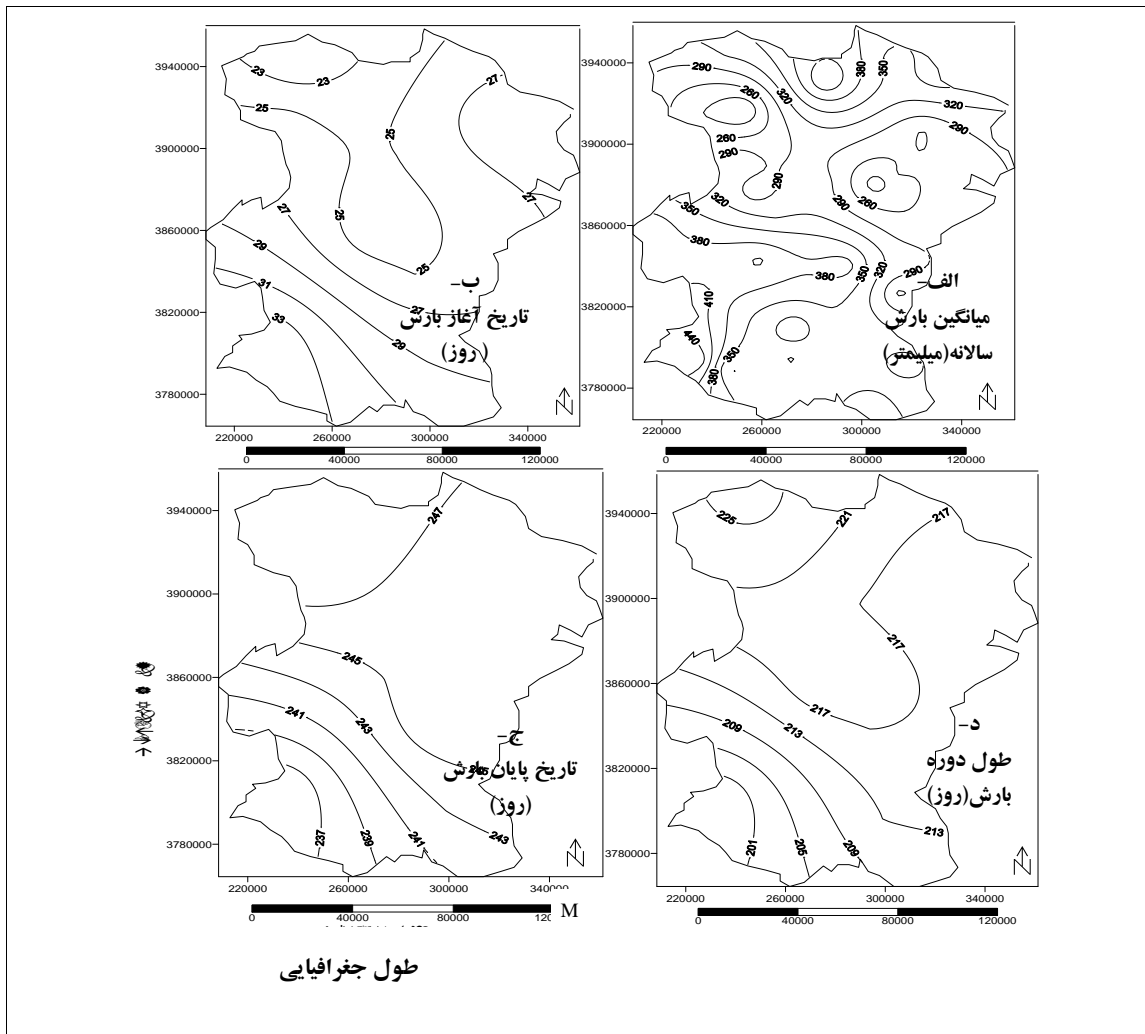
ارزشی عددی تعیین و سپس به روش کریجینگ پهنه بندی شد.

۷- مشخصات عمومی بارش: استان همدان به عنوان یکی از استان‌های کوهستانی غرب کشور از نظر بارش و

فصل بارش دارای خصوصیات زیر است: متوسط بارش سالانه استان همدان ۳۱۰ میلی متر برآورد شده است. پر باران ترین منطقه استان قسمت‌های مرکزی و جنوب غربی و کم باران ترین آن قسمت‌های شرقی و شمالی است، (شکل ۲- الف). بیشترین مقدار ماهانه بارش در استان همدان اسفند ماه با میانگین ۵۵/۵ میلیمتر و کمترین آن شهریور با میانگین ۰/۷ میلی متر است. از نظر تمرکز فصلی بیشترین بارش در فصل زمستان ۳۹ درصد و کمترین سهم تابستان با یک درصد است. زمان بارش به طور کلی در زمستان و اوایل بهار و همچنین در پاییز است که بیشتر نامنظم و دارای تغییر پذیری بوده و همچنین بیشتر ریزش‌ها در فصل زمستان به صورت برف بوده که اغلب در دامنه‌ها و دره‌های عمیق تا اواسط بهار باقی می ماند. براساس (شکل ۲- ب و ج) که تاریخ آغاز و پایان بارندگی را بر اساس تقویم زراعی نشان می دهد، آغاز فصل بارندگی در مناطق شمالی و شمال غرب استان نسبت به سایر مناطق از نظر زمانی زودتر، در حالی که در مناطق جنوب غرب استان فصل بارندگی نسبت به سایر مناطق دیرتر است. در نقشه مربوط به تاریخ پایان بارندگی که بر اساس تقویم زراعی تهیه شده است، پایان بارندگی در مناطق مرکزی و شمال غرب استان دیرتر از سایر مناطق است و این نشان دهنده طولانی تر بودن فصل بارندگی در این مناطق است. در مناطق جنوب غرب نیز پایان بارندگی زودتر از سایر مناطق استان است و نشان از کوتاه بودن فصل بارندگی در این مناطق دارد که (شکل ۲- د) این واقعیت را نشان می دهد. جدول (۲) پاره ای از مشخصات آماری بارندگی را در دوره مورد مطالعه نشان می دهد:

جدول (۲) پاره ای از مشخصات آماری ایستگاه‌های مورد مطالعه

| همدان | نوژه | درگزین | فیروزان | کیتو | اکنلو | گنبد | ملایر |
|-------|------|--------|---------|------|-------|------|-------|
| ۲۲۲ | ۲۲۱ | ۲۱۷ | ۲۰۰ | ۲۲۳ | ۲۲۸ | ۲۲۲ | ۲۱۴ |
| ۲۳ | ۲۵ | ۲۸ | ۳۵ | ۲۶ | ۲۱ | ۲۵ | ۲۹ |
| ۲۴۵ | ۲۴۶ | ۲۴۵ | ۲۳۵ | ۲۴۹ | ۲۴۹ | ۲۴۷ | ۲۴۳ |
| ۸ | ۷ | ۶ | ۳ | ۶ | ۵ | ۶ | ۸ |
| ۵ | ۷ | ۹ | ۲ | ۳ | ۵ | ۶ | ۶ |
| ۹ | ۱۱ | ۱۰ | ۴ | ۸ | ۸ | ۱۱ | ۸ |
| ۶۳ | ۴۸ | ۳۹ | ۱۱ | ۳۹ | ۲۱ | ۳۶ | ۶۰ |
| ۲۱ | ۴۷ | ۷۳ | ۳ | ۱۲ | ۲۶ | ۳۱ | ۳۴ |
| ۷۴ | ۱۱۴ | ۹۹ | ۱۴ | ۷۲ | ۶۱ | ۱۱۸ | ۷۰ |
| ۳۳ | ۲۷ | ۲۲ | ۹/۵ | ۲۴ | ۲۲ | ۲۴ | ۲۷ |
| ۱/۸ | ۲/۸ | ۳/۵ | ۰/۷ | ۱/۴ | ۲ | ۲/۳ | ۲/۴ |
| ۴ | ۵ | ۴/۶ | ۲ | ۴ | ۳/۵ | ۵ | ۴ |



شکل ۲: مشخصات عمومی بارندگی (۱۳۵۸-۱۳۸۷)

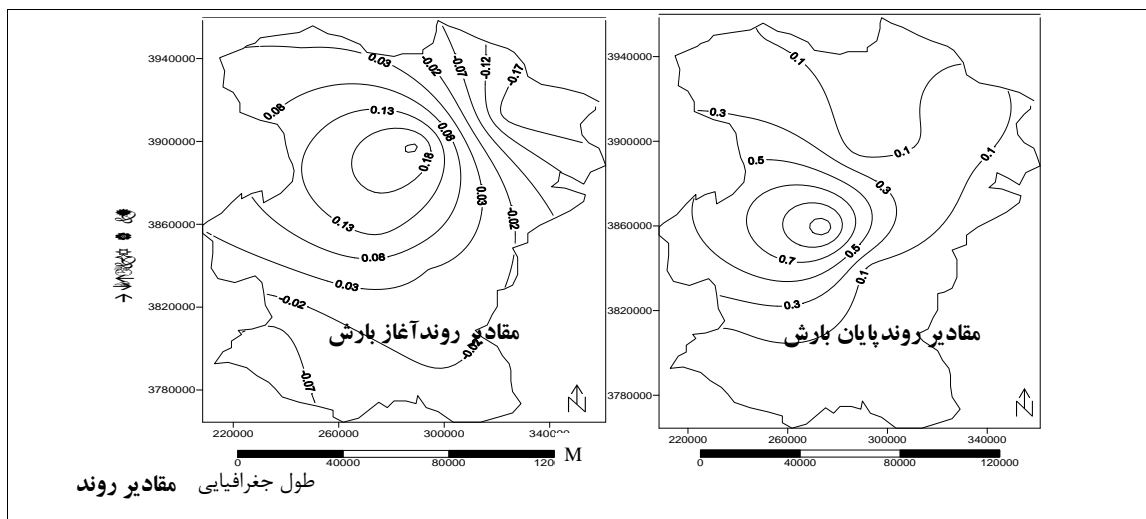
نتایج

الف- روند عمومی مشخصات بارندگی: به منظور بررسی روند و مطالعه تغییرات فصل بارندگی در استان همدان تاریخ آغاز، تاریخ خاتمه و طول دوره بارندگی ایستگاه‌های مورد مطالعه برای سه دهه و روند آن به صورت نقشه برای هر سه دهه و میانگین پیراسته (میانگین مقادیر بین چارک اول و سوم) ۳۰ ساله تهیه شده است (شکل ۷-۳).

۱- روند تاریخ آغاز و پایان بارندگی

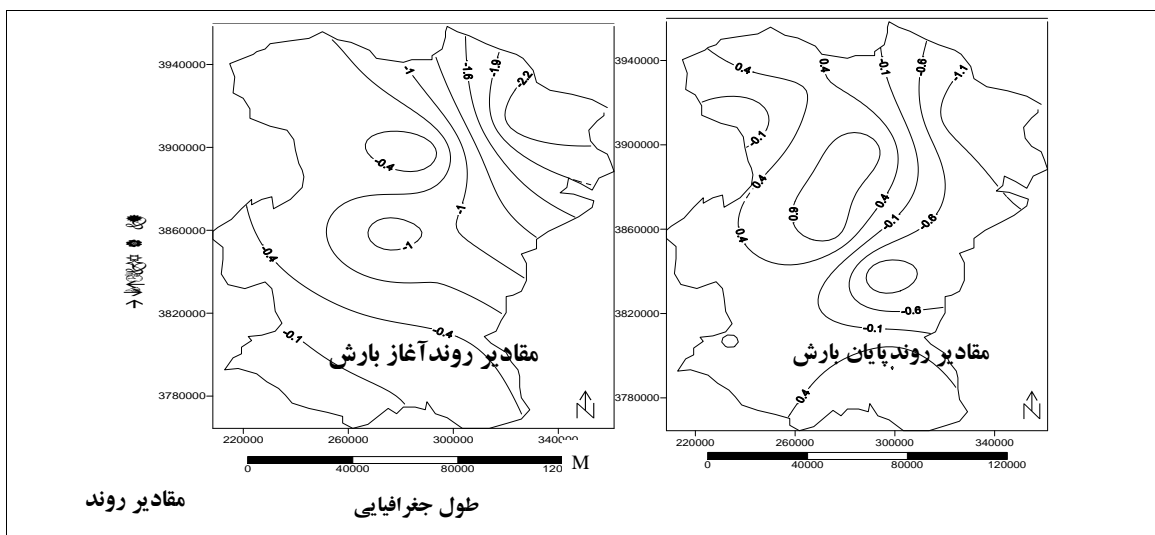
دوره سی ساله: بر اساس نقشه ای مربوط به میانگین پیراسته ۳۰ ساله تغییر محسوسی در روند تاریخ آغاز بارندگی دیده نمی شود؛ یعنی تاریخ وقوع آغاز بارندگی در یک دوره ۳۰ ساله رفتاری نسبتاً ثابت داشته است، اما نقشه روند تاریخ پایان بارندگی به طرف مرکز استان روندی افزایشی دارد. این نمایانگر افزایش طول دوره بارندگی در دوره مورد

مطالعه است. شکل ۳ نقشه مقدار روند تاریخ وقوع آغاز و پایان بارندگی در استان همدان را در دوره ۳۰ ساله (۱۳۸۷-۱۳۵۸) نشان می دهد.



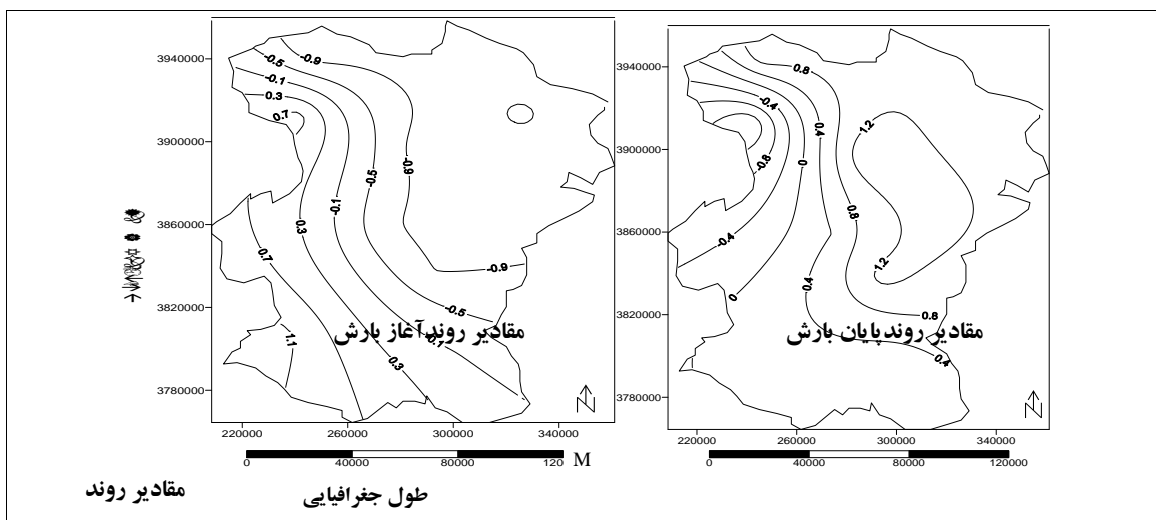
شکل ۳: میزان روند در تاریخ وقوع آغاز و پایان بارندگی در دوره ۳۰ ساله (۱۳۵۸-۱۳۸۷)

در دهه اول: مقادیر منفی روند تاریخ آغاز بارندگی در سراسر استان، بخصوص مناطق شمال شرق نشان دهنده این است که فصل بارندگی از اواسط پاییز به اوایل پاییز کشیده شده است. در این دهه نقشه روند تاریخ خاتمه بارندگی به جز منطقه شمال شرق، در بقیه استان روند افزایشی را نشان می دهد. این امر گویای کشیده شدن فصل بارندگی به طرف تابستان است. شکل ۴ توزیع مکانی روند تاریخ آغاز و پایان بارندگی در استان همدان را طی دهه اول (۱۳۶۷-۱۳۵۸) نشان می دهد.



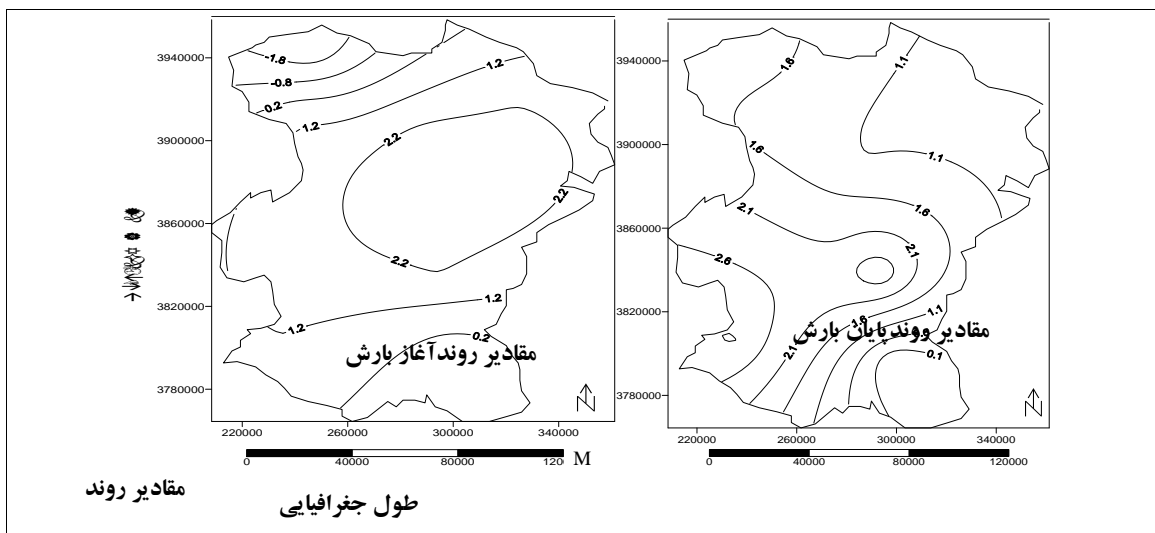
شکل ۴: میزان روند در تاریخ وقوع آغاز و پایان بارندگی در دهه اول (۱۳۶۷-۱۳۵۸)

دهه دوم: روند تاریخ آغاز بارندگی در دهه دوم بیانگر تغییرات کمتری است، در مناطق جنوب غرب استان با توجه به روند افزایشی تاریخ وقوع آغاز بارندگی (تاریخ وقوع آغاز بیشتر شده و فصل بارندگی دیرتر رخ داده) و روند ثابت در تاریخ وقوع پایان بارندگی، طول دوره بارندگی کوتاه تر شده است. در منطقه شرق و شمال شرق در این دهه تاریخ وقوع پایان بارندگی افزایش پیدا کرده که به افزایش طول دوره بارندگی این مناطق منجر شده است. شکل ۵ نقشه مقدار روند تاریخ وقوع آغاز و پایان بارندگی در استان همدان را در دهه دوم (۱۳۶۸-۱۳۷۷) نشان می دهد.



شکل ۵: میزان روند در تاریخ وقوع آغاز و پایان بارندگی در دهه دوم (۱۳۶۸-۱۳۷۷)

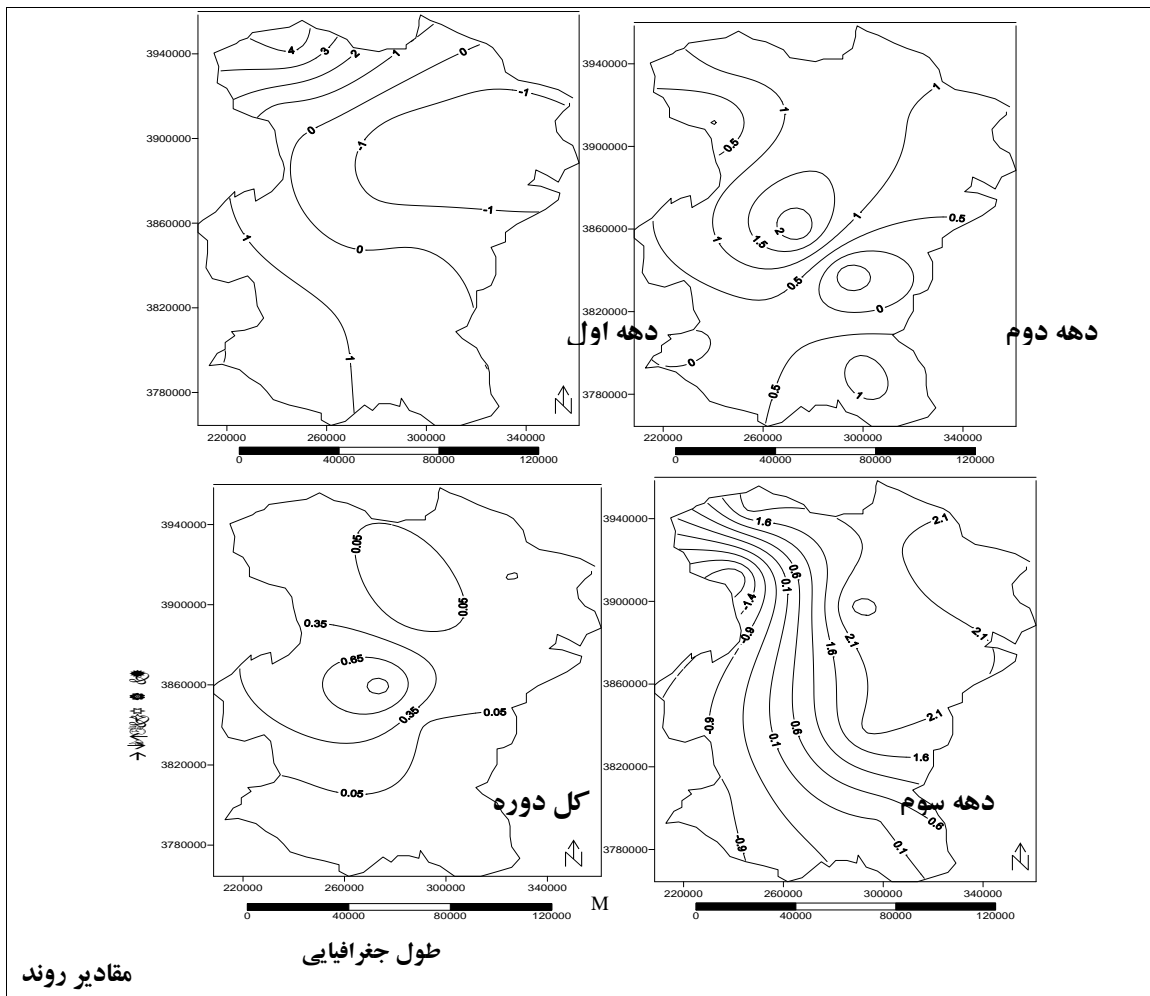
دهه سوم: بر اساس نقشه روند تاریخ وقوع آغاز بارندگی در دهه سوم در مناطق مرکزی و شمال شرق استان روند افزایشی در تاریخها مشاهده می شود که این نمایانگر تغییر تاریخ وقوع آغاز بارندگی به طرف زمستان است. در نقشه روند تاریخ وقوع پایان بارندگی در دهه سوم در سراسر استان روند افزایشی رخ داده است؛ یعنی تاریخ پایان بارندگی به طرف تابستان کشیده شده است. شکل ۶ نقشه مقدار روند تاریخ وقوع آغاز و پایان بارندگی در استان همدان را در دهه سوم (۱۳۷۸-۱۳۸۷) نشان می دهد.



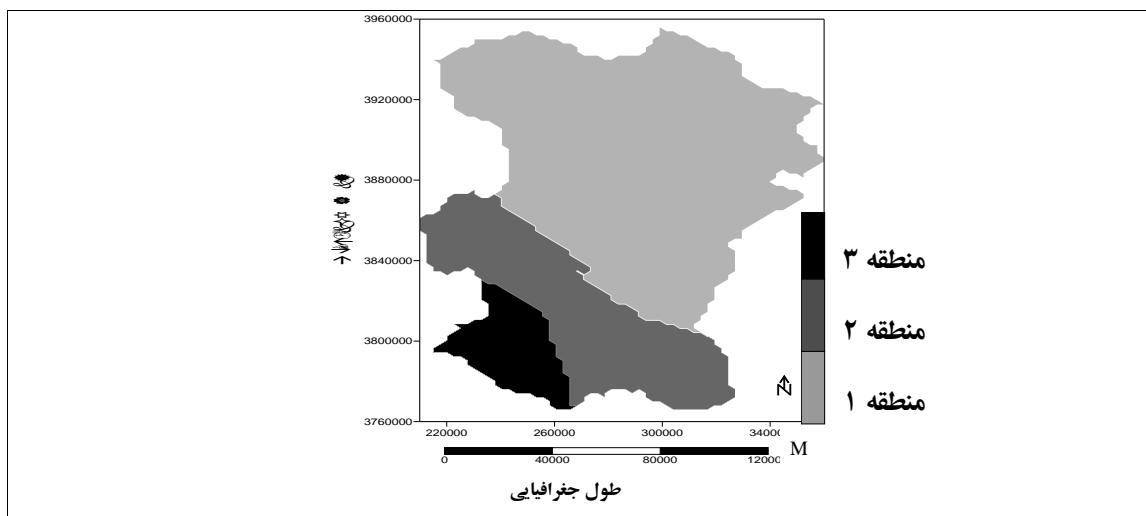
شکل ۶: میزان روند در تاریخ وقوع آغاز و پایان بارندگی در دهه سوم (۱۳۸۷-۱۳۷۸)

۲- تغییرات طول دوره بارندگی:

به منظور بررسی تغییرات طول دوره بارندگی در منطقه مورد مطالعه در سه دهه و میانگین پیراسته (چارک اول و سوم) دوره سی ساله روند آنها مشخص و به صورت نقشه درآمده بر اساس این نقشه‌ها طول دوره بارندگی در دهه اول روند افزایشی داشته است. بر اساس این نقشه مناطق مرکزی و شمال شرق استان بیشترین افزایش طول دوره بارندگی را نشان می‌دهد. در سایر مناطق افزایش طول دوره بارندگی ناچیز است. در دهه دوم در مناطق جنوب غرب استان طول دوره بارندگی کوتاهتر شده است، اما در منطقه شرق و شمال شرق در این دهه طول دوره بارندگی بیشتر شده، به عبارتی طول دوره بارندگی از غرب به شرق افزایش یافته است. در دهه سوم مقدار روند طول دوره بارندگی در مناطق مرکزی استان تقریباً ثابت است و تغییر قابل ملاحظه‌ای صورت نگرفته است، اما در مناطق شرقی روند کاهش‌ی و در مناطق غرب و شمال غرب روند افزایشی دیده می‌شود. به عبارتی، طول دوره بارندگی از شرق به غرب استان افزایش یافته است. طول دوره بارندگی در یک دوره ۳۰ ساله در سراسر استان روند افزایشی را نشان می‌دهد. میزان این روند در مناطق شمالی و جنوبی کم و در مناطق مرکزی بیشتر است. شکل ۷ میزان روند طول دوره بارندگی را در دهه‌های اول و دوم و سوم و دوره ۳۰ ساله نشان می‌دهد.



این ناحیه نیز منفی است. **منطقه ۲:** در این منطقه تاریخ آغاز بارندگی در دهه دوم و سوم و کل دوره روند افزایشی دارد؛ یعنی جابه جایی آغاز فصل بارندگی به طرف زمستان بوده، روند افزایشی در تاریخ خاتمه بارندگی در دهه اخیر نشان دهنده جابه جایی پایان بارندگی از بهار به اوایل تابستان است. **منطقه ۳:** در این منطقه تاریخ وقوع آغاز بارندگی روند افزایشی دارد و جابه جایی فصل بارندگی از اوایل پاییز به اواسط پائیز است. تاریخ وقوع پایان بارندگی هم روند افزایشی دارد؛ یعنی پایان بارندگی از اواسط بهار به اواخر بهار و اوایل تابستان کشیده شده. در این ناحیه در دوره ۳۰ ساله فصل بارندگی تغییر محسوسی نداشته است (شکل ۸).



شکل ۸: پهنه بندی تغییرات فصل بارندگی در استان همدان

بحث و نتیجه گیری:

در این تحقیق با تعیین میزان روند در تاریخ وقوع آغاز و خاتمه بارندگی و طول دوره بارندگی تغییرات و جابه جایی فصل بارندگی طی دوره سی ساله ۱۳۵۸ تا ۱۳۸۷ برای استان همدان تجزیه و تحلیل شد. بر اساس یافته‌های این تحقیق، به نظر می‌رسد فصل بارندگی در دهه اخیر دیرتر آغاز می‌شود و دیرتر به پایان می‌رسد. به عبارتی، آغاز فصل بارندگی در استان همدان که در فصل پاییز رخ می‌داد، به سمت زمستان می‌رود و فصل پاییز خشک تر از دوره‌های قبل است. این نشان اهمیت مطالعات جابه جایی فصل بارندگی در مطالعات خشکسالی و تغییرات اقلیمی (خصوصاً در فصل پاییز) برای استان همدان است. در این پژوهش بر اساس تحلیل خوشه‌ای، تغییرات فصل بارندگی بررسی و پهنه بندی شده که اختلاف میزان و چگونگی تغییرات را نشان می‌دهد. بر این اساس، مناطق جغرافیایی زیر از لحاظ ویژگی‌های فصل بارندگی در استان همدان قابل تفکیک است:

دشت‌های شمالی و شرقی استان (دشت کیودر آهنگ، دشت رزن، دشت قهاوند): تغییرات فصل بارندگی در این نواحی در سه دهه رفتاری متفاوت داشته است، اما روند آن به سوی فشرده شدن فصل بارندگی در سال‌های اخیر است، فصل پاییز و بهار خشک تر شده، بارندگی به تمرکز بیشتر در فصل زمستان گرایش دارد. با این حال، فصل بارندگی در

این ناحیه طولانی تر و مقدار بارندگی آن کمتر از سایر نواحی استان است. بیشترین ضریب تغییرات در تاریخ وقوع آغاز و خاتمه و طول دوره بارندگی در این نواحی رخ می دهد. این ناحیه وسیع ترین مساحت را در سطح استان دارد. مناطق کوهستانی مرکزی و جنوب استان (ارتفاعات الوند): در این ناحیه طول دوره بارندگی روند خاصی را نشان نمی دهد. به نظر می رسد در این ناحیه فصل بارندگی به سمت فصل گرم جابه جایی داشته؛ یعنی پاییز خشک تر و بهار مرطوب تر از گذشته شده است. در این نواحی ضریب تغییرات و مقدار بارندگی حالت بینابین دو ناحیه دیگر است؛ یعنی ضریب تغییرات آن از دشت‌های شمالی کمتر و از دشت‌های جنوبغرب بیشتر است. دشت نهاوند و مناطقی از جنوبغرب استان: فصل بارندگی الگوی ثابتی دارد و تغییرات محسوسی در آن دیده نمی شود. کوتاه ترین فصل بارندگی در این نواحی رخ می دهد که بیشترین مقدار بارندگی را در سطح استان داراست و این نشان دهنده ریزش بارندگی‌های سنگین در این ناحیه است. کمترین ضریب تغییرات در تاریخ وقوع آغاز و خاتمه و طول دوره بارندگی مربوط به این ناحیه است که نشان دهنده ثبات نسبی فصل بارندگی در این ناحیه است. نتایج این تحقیق در مدیریت منابع آب و برنامه ریزی‌های منطقه ای و آمایش سرزمین به کاربرده می شود. پیشنهاد این پژوهش بررسی تغییرات فصل بارندگی و جابه جایی آن برای مناطق مختلف ایران است.

منابع

- ۱- ترابی، سیما. (۱۳۸۰). بررسی و پیش بینی تغییرات دما و بارش در ایران، جهانبخش، سعید، رساله دکتری جغرافیای طبیعی، دانشگاه تبریز.
- ۲- جعفر پور، ابراهیم. (۱۳۶۸). اقلیم شناسی، انتشارات دانشگاه تهران.
- ۳- عسگری، احمد و فاطمه رحیم زاده. (۱۳۸۵). «مطالعه تغییرپذیری بارش دهه‌های اخیر ایران»، فصلنامه پژوهش‌های جغرافیایی، ش ۵۸، ص ۶۷-۸۰.
- ۴- علیجانی، بهلول. (۱۳۷۶). آب و هوای ایران، انتشارات دانشگاه پیام نور.
- ۵- فرشاد فر، عزت الله. (۱۳۸۰). اصول روش‌های آماری چند متغیره، انتشارات دانشگاه رازی و طاق بستان، چاپ دوم.
- ۶- محمدی ح. جاوری م. (۱۳۸۵). «تغییرات زمانی بارش ایران»، مجله محیط شناسی. (۴۰) ص ۸۷-۱۰۰.
- ۷- مسعودیان، سیدابوالفضل. (۱۳۸۴). «شناسایی رژیم بارش ایران به روش تحلیل خوشه ای»، فصلنامه پژوهش‌های جغرافیایی، ش ۵۲، ص ۲۱-۳۳.
- ۸- مسعودیان، سیدابوالفضل، هوشمند عطائی. (۱۳۸۴). «شناسایی فصول بارش ایران به روش تحلیل خوشه ای»، مجله پژوهشی علوم انسانی دانشگاه اصفهان، جلد هجدهم، ش ۱، ص ۷۰-۸۳.
- ۹- مسعودیان، سیدابوالفضل و محمدرضا کاویانی. (۱۳۸۶). اقلیم شناسی ایران، انتشارات دانشگاه اصفهان.
- ۱۰- مسعودیان، سید ابوالفضل. (۱۳۸۶). نواحی بارش ایران، جغرافیا و توسعه، ش، ص ۷۹-۹۰.
- ۱۱- مشکانی، محمد رضا. (۱۳۶۴). آمار مقدماتی، مرکز نشر دانشگاهی تهران.
- ۱۲- میرموسوی س.ح. (۱۳۸۷). «مطالعه نوسانات دما و بارش سالانه در منطقه شمال غرب ایران»، فصلنامه پژوهش‌های جغرافیای طبیعی. ۶۶، ص ۸۷-۱۰۰.

- ۱۳- ناظم السادات، سید محمد جعفر و امین شیروانی. (۱۳۸۵). «پیش بینی بارش زمستانه مناطق جنوبی ایران با استفاده از دمای سطح آب خلیج فارس: مدل سازی تحلیل همبستگی متعارف»، مجله علمی کشاورزی، ش ۲ ص ۶۵-۷۷.
- ۱۴- Ashabokov, B, A., Bischokov, R, M and Derkach, D,V. ۲۰۰۸. Study of changes in the regime of atmospheric precipitation in the Central Northern Caucasus, Meteorologiya i Hidrologiya., NO. ۲ (۹۸-۱۰۲).
- ۱۵- Bello, N, J. (۱۹۹۶). An investigation of the characteristics of the onset and cessation of the rains in Nigeria. Theor, Appl, Climatol., ۵۴ (۱۶۱-۱۷۳).
- ۱۶- Bodri, L., Cermak, V and Kresl, M. ۲۰۰۵. Trend in precipitation variability: Progue (the Czech Republic), Climatic Change., ۷۲ (۱۵۱-۱۷۰).
- ۱۷- Buffoni, L., Maugeri, M and Nanni, T. ۱۹۹۹. Precipitation in Italy from ۱۸۳۳ to ۱۹۹۶, Theor, Appl. Climatol., ۶۳ (۳۳-۴۰).
- ۱۸- Domonkos, P. ۲۰۰۳. Recent precipitation trends in Hungary in the context of large scale climatic changes, Natural Hazards., ۲۹ (۲۵۵-۲۷۱).
- ۱۹- Domroes, M., Kaviani, M., and Schaefer, D. (۱۹۹۸) An analysis of regional and intrannual precipitation variability over Iran using multivariate statistical methods, Theor. Appl. Climatol., ۶۱ (۳-۴).
- ۲۰- Gong, X and M.B. Richman, (۱۹۹۵), On the application of cluster analysis for growing season precipitation in North American East of rockies, Journal of climate, vol: ۸
- ۲۱- Karagiannidis, A, F. Bloutsos, A, A., Mahers, P and Sachsamanoğlu, Ch. ۲۰۰۸. Some statistical characteristics of precipitation in Europe, Theor. Appl. Climatol., ۹۱ (۱۹۳-۲۰۴).
- ۲۲- Livada, I and Charalambous, G. Assimakopoulos, M. N(۲۰۰۶) Spatial and temporal study of precipitation characteristics over Greece, Theor. Appl. Climatol. ۹۳.
- ۲۳- Odekunle, T, O. ۲۰۰۶. Determining rainy season onset and retreat over Nigeria from precipitation amount and number of rainy days, Theor, Appl, Climatol., ۸۳ (۱۹۳-۲۰۱).
- ۲۴- Qian, W and Lin, X. ۲۰۰۵. Regional trends in recent precipitation indices China, Meteorol Atmos Phys., ۹۰ (۱۹۳-۲۰۷).
- ۲۵- Rodrigo, F, S. ۲۰۰۲. Changes in climate variability and seasonal rainfall extremes: a case study from San Fernando (Spain), ۱۸۲۱-۲۰۰۰, Theor, Appl, Climatol., ۷۲ (۱۹۳-۲۰۷).
- ۲۶- Romos, M, C. ۲۰۰۱. Rainfall distribution patterns and their change over time in a Mediterranean area, Theor, Appl, Climatol., ۶۹ (۱۶۳-۱۷۰).

- ۲۷- Stafford, J, M. Wendle, G and Curtis, J. ۲۰۰۰. Temperature and precipitation of Alaska: ۵۰ year trend analysis, *Theor, Appl, Climatol.*, ۶۷ (۳۳-۴۴)
- ۲۸- Tarawneh, Q and Kadoglu, M, (۲۰۰۳) An analysis of precipitation climatology in Jordan, *Theor. Appl. Climatol*, ۷۴.
- ۲۹- Tomozeiu, R. Lazzeri, M and Cacciamani, C. ۲۰۰۲. Precipitation fluctuations during the winter season from ۱۹۶۰ to ۱۹۹۵ over Emilia-Romagna, Italy, *Theor, Appl, Climatol.*, ۷۲ (۲۲۱-۲۲۹).
- ۳۰- Totic, I and Unkasevic, M. ۲۰۰۵. Analysis of precipitation series for Belgrade, *Theor, Appl, Climatol.*, ۸۰ (۶۷-۷۷).
- ۳۱- Unkasevic, M and Radinovic, D. ۲۰۰۰. Statistical analysis of daily maximum and monthly precipitation at Belgrade, *Theor, Appl, Climatol.*, ۶۶ (۲۴۱-۲۴۹).

